

Рис. 2. Зависимости и некоторые частные примеры определения направления магистрали.

a — зависимость комплексного коэффициента A от срока действия магистрали в данной полосе лесного массива; $1 - Q_r = 450$ тыс. m^3 ; $2 - Q_r = 300$ тыс. m^3 ; $3 - Q_r = 150$ тыс. m^3 ; *b* — зависимость предельного значения координаты $x_{пр}$ точки B от ширины полосы; $1 - A = 1,75 \times 10^{-5}$; $2 - A = 3,5 \cdot 10^{-5}$; $3 - A = 7,0 \cdot 10^{-5}$; *в* — пример назначения направления магистрали при ширине полос *в тах*, определяемой по формуле (10); *г* — возможный вариант направления магистрали $OAB'C$ с ответвлением AD для лесных массивов со сложной конфигурацией границ и весьма неравномерным размещением запасов леса.

На рис. 2, *a* представлена зависимость $A = f(n)$ для лесовозной дороги с гравийной дорожной одеждой при $C_m = 30\,000$ р.; $k_m = 0,05$ р./($m^3 \cdot km$); $k_b = 0,09$ р./($m^3 \cdot km$); а на рис. 2, *б* — зависимость $x_{пр} = f(b)$ для трех пространственных значений A .

С учетом того, что при размещении веток в лесном массиве эксплуатационная площадь последнего разделяется на отдельные зоны тяготения к веткам, ширину каждой полосы целесообразно принимать равной оптимальному расстоянию между ветками у мест их примыкания к магистрали. Таким образом,

$$b = \sqrt{\frac{C_b - C_{ус}}{30\gamma b_{ус}}}, \quad (9)$$

где C_b — стоимость постройки и содержания (за срок службы) 1 км головного участка ветки, р./км;

$C_{ус}$ — стоимость постройки и содержания 1 км уса, р./км;

$b_{ус}$ — стоимость пробега леса по усу, р./($m^3 \cdot km$).

Из формулы (7) и рис. 2, *б* видно, что координата $x_{пр} = 0$ при

На рис. 2 представлены графики изменения ω за один оборот коленчатого вала для одной рамы РД-75-7 (кривая 1) и для двух рам РД-75-7 с соединенными под углом 90° кривошипами (кривая 2). Аналогично для первого и второго случаев кривыми 1 и 2 на рис. 3 изображены графики моментов электродвигателя АК-102-8М главного привода ($M_n = 1300 \text{ Н} \cdot \text{м}$, $M_k = 2470 \text{ Н} \cdot \text{м}$, $s_n = 0,02$).

Исследование на математической модели лесопильной рамы, построенной на основании идеи [1], показало, что за счет снижения неравномерности вращения коленчатого вала можно достичь более ровной работы двигателя привода механизма резания и, возможно, улучшить динамику всей рамы.

Л И Т Е Р А Т У Р А

[1]. А. с. 426808 (СССР). Лесопильная рама/ И. С. Швальбойм, Д. П. Петелин.— Олubl. в Б. И., 1974, № 17. [2]. Буторин Н. Н. Математическая модель механизма резания лесопильной рамы.— Изв. высш. учеб. заведений. Лесн. журн., 1971, № 5, с. 66—70. [3]. Нартов П. С., Скворцов А. К., Зазин В. В. Исследование динамических свойств ременного привода лесопильной рамы.— Механ. обраб. древесины. Реф. инф., М., 1975, с. 16—17. [4]. Совершенствование гидросистемы и автоматизация процесса натяжения ременной передачи привода механизма резания лесопильных рам РД-75-6/7: Отчет/ АЛТИ; Руководитель работы Г. М. Гернет; № Х8; Инв. № 888.— Архангельск, 1976.— 42 с. [5]. Электромагнитные переходные процессы в асинхронном электроприводе/ М. М. Соколов, Л. П. Петров, Л. Б. Масандилов, В. А. Ландезон.— М.: Энергия, 1967.— 89 с.

УДК 539.3 : 674.05

К ВОПРОСУ ОПРЕДЕЛЕНИЯ
НАПРЯЖЕННОГО СОСТОЯНИЯ БАЗИРУЮЩИХ ЭЛЕМЕНТОВ
ДЕРЕВООБРАБАТЫВАЮЩИХ СТАНКОВ

В. Е. ЮРИНЕЦ, С. А. АПОСТОЛЮК

Львовский государственный университет
Львовский лесотехнический институт

Известно, что в качестве базирующих элементов деревообрабатывающих станков применяют направляющие линейки и столы, выполненные в виде упругих плоскостей несимметрично закрепленных на станинах оборудования. Под воздействием вибрационных нагрузок и других усилий такие элементы испытывают упругие деформации, отрицательно влияющие на качество обработки. Поэтому исследование напряженного состояния и деформаций столов, направляющих линеек и подобных им конструкций представляет практический интерес.

В качестве объекта исследования принимаем стол рейсмусового станка СР6-6.

Стол станка можно представить как пластину-полуплоскость толщиной $2h$, прямолинейный край которой по всей длине несимметрично закреплен (спаян) с упругим элементом постоянного сечения, называемым в дальнейшем стержнем. Сопряжение пластины с упругим стержнем осуществляется на фактической плоскости их спая. Пусть к подкрепляющему стержню приложены изгибающие моменты $M_y(x)$, перерезывающие силы $P_z(x)$, нормальные и тангенциальные усилия $N_y(x)$ и $T_x(x)$. Со стороны стержня на пластину будут передаваться контактные изгибающие моменты $M_y^{(l)}(x)$, перерезывающие силы $P_z^{(l)}(x)$ и усилия $N_y^{(l)}(x)$ и $T_x^{(l)}(x)$.

Следовательно, на контуре спая имеем следующие условия сопряжения (рис. 1):

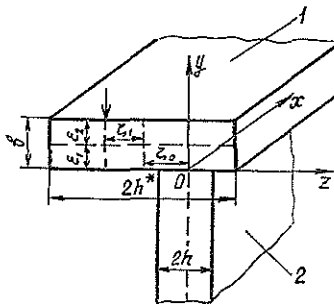


Рис. 1. Расчетная схема стола станка с несимметрично подкрепленным краем.

1 — стол; 2 — станина.

$$(u_1)_y=0 = u_2; \quad (v_1)_y=0 = v_2; \quad (w_1)_y=0 = w_2; \quad \left(\frac{dw_1}{dy}\right)_{y=0} = \frac{dw_2}{dy}; \quad (\sigma_y)_{y=0} = N_y^{(l)}; \\ (r_{xy})_{y=0} = T_x^{(l)}; \quad (M_y)_{y=0} = M_y^{(l)}; \quad \left(N_y + \frac{\partial H_{xy}}{\partial x}\right)_{y=0} = P_z^{(l)}, \quad (I)$$

где u_1, v_1, w_1 и u_2, v_2, w_2 — компоненты вектора перемещений пластины и стержня на контуре спая соответственно по осям x, y, z .

Выражения для компонент смещений точек границы упругой пластины ($y = 0$) с учетом приложенных к границе полуплоскости усилий при применении интегрального преобразования Фурье

$$\bar{f}(\lambda) = \frac{1}{\sqrt{2\pi}} \int_{-\infty}^{\infty} f(x) e^{i\lambda x} dx; \quad f(x) = \frac{1}{\sqrt{2\pi}} \int_{-\infty}^{\infty} \bar{f}(\lambda) e^{-i\lambda x} d\lambda \quad (2)$$

имеют вид [2]

$$\begin{aligned} (i\lambda^3 \bar{u}_1)_{y=0} &= -\frac{\lambda^2(1-\nu)}{E} \bar{N}_y^{(i)} + i \frac{2\lambda^2}{E} \bar{T}_x^{(i)}; \\ (\lambda^4 \bar{v}_1)_{y=0} &= \frac{2\lambda^3}{E} \bar{N}_y^{(i)} - i \frac{\lambda^3(1-\nu)}{E} \bar{T}_x^{(i)}; \\ (\bar{w}_1)_{y=0} &= \frac{2\bar{P}_z^{(i)} - \lambda(1+\nu)\bar{M}_y^{(i)}}{D\lambda^3(1-\nu)(3+\nu)}; \\ \left(\frac{d\bar{w}_1}{dy}\right)_{y=0} &= \frac{(1-\nu)P_z^{(i)} - 2\lambda\bar{M}_y^{(i)}}{D\lambda^2(1-\nu)(3+\nu)}. \end{aligned} \quad (3)$$

где $D = \frac{2Eh^3}{3(1-\nu^2)}$ — цилиндрическая жесткость пластины;

ν — коэффициент Пуассона;

E — модуль упругости пластины.

Расчет стержня основан на теории криволинейных стержней. Используя гипотезу нормального плоского сечения и рассматривая при малых деформациях равновесие элемента стержня (применяя при этом интегральное преобразование Фурье (2)), найдем зависимости для компонент вектора перемещения стержня [1]:

$$\begin{aligned} i\lambda^2 \bar{u}_2 &= \frac{2h^* \varepsilon_1}{g_1} \bar{N}_y - \frac{2h\varepsilon_1}{g_2} \bar{N}_y^{(i)} + 2h^* i\lambda \left(\frac{1}{G_2} + \frac{\xi_0 \xi_1}{A} \right) \bar{T}_x - \frac{\xi_0}{A} \bar{P}_z - \\ &\quad - 2hi\lambda \left(\frac{1}{G_1} + \frac{\xi_0^2}{A} \right) \bar{T}_x^{(i)} - \frac{\xi_0}{A} \bar{P}_z^{(i)}; \\ \lambda^4 \bar{v}_2 &= \frac{2h^*}{g_2} \bar{N}_y - \frac{2h}{g_2} \bar{N}_y^{(i)} - i\lambda \frac{2h^* \varepsilon_2}{g_2} \bar{T}_x - i\lambda \frac{2h\varepsilon_1}{g_2} \bar{T}_x^{(i)}; \end{aligned} \quad (4)$$

$$\begin{aligned} \bar{w}_2 &= \left(\frac{1}{\lambda^4 A} - \frac{\varepsilon_1 \varepsilon_2}{\lambda^2 C} \right) \bar{P}_z - \left(\frac{1}{\lambda^4 A} + \frac{\varepsilon_1^2}{\lambda^2 C} \right) \bar{P}_z^{(i)} - \frac{2h^* \xi_1}{\lambda^2 C} \bar{N}_y - \frac{2h\xi_0 \varepsilon_1}{\lambda^2 C} + i \frac{2h\xi_0}{\lambda^3 A} \bar{T}_x^{(i)} - \\ &\quad - i \frac{2h^* \xi_1}{\lambda^3 A} \bar{T}_x - \frac{\varepsilon_1}{\lambda^3 C} \bar{M}_y^{(i)} + \frac{\varepsilon_1}{\lambda^2 C} \bar{M}_y; \\ \frac{d\bar{w}_2}{dy} &= \frac{1}{\lambda^2 C} \bar{M}_x^{(i)} - \frac{1}{\lambda^2 C} \bar{M}_y + \frac{2h\xi_0}{\lambda^2 C} \bar{N}_y^{(i)} - \frac{2h^* \xi_1}{\lambda^2 C} \bar{N}_y + \frac{\varepsilon_1}{\lambda^2 C} \bar{P}_z^{(i)} + \frac{\varepsilon_2}{\lambda^2 C} \bar{P}_z. \end{aligned}$$

где

$$\frac{1}{G_1} = \frac{1}{g_1} + \frac{\varepsilon_1^2}{g_2};$$

$$\frac{1}{G_2} = \frac{1}{g_1} - \frac{\varepsilon_1 \varepsilon_2}{g_2};$$

$2h^*$ — ширина стержня;

ε_1 и ε_2 — расстояния волокон стержня от его нейтрального слоя (оси) соответственно внутреннего и внешнего края;

ξ_0 — расстояние от оси стержня к средней плоскости пластины (эксцентриситет подкрепления);

ξ_1 — эксцентриситет приложения внешнего нормального усилия;

C — жесткость стержня на кручение;

$g_1 = E^* S_0$ — жесткость стержня на растяжение;

$g_2 = E^* J_z$; $A = E^* J_y$ — жесткости стержня на изгиб;

E^* — модуль упругости материала стержня;

S_0 — площадь поперечного сечения стержня;

J_z, J_y — моменты инерции сечения стержня.

Из условия равенства смещений точек стержня и пластины вдоль контура контакта (1) на основании соотношений (3), (4) получают четыре уравнения относительно трансформант контактных усилий $\bar{N}_y^{(i)}, \bar{T}_x^{(i)}, \bar{P}_z^{(i)}, \bar{M}_y^{(i)}$. Сами же усилия восстанавливаются при помощи формулы обращения Фурье (2).

При нагружении подкрепляющего элемента нормальным усилием $N_y(x)$ решение полученной в результате сопряжения системы уравнений можно представить в виде

$$\begin{aligned} N_y^{(i)} &= \frac{1}{\pi} \int_0^{\infty} \frac{D_1(\lambda)}{D_0(\lambda)} d\lambda \int_{-\infty}^{\infty} N_y(t) \cos \lambda(t-x) dt; \\ T_x^{(i)} &= \frac{1}{\pi} \int_0^{\infty} \frac{D_2(\lambda)}{D_0(\lambda)} d\lambda \int_{-\infty}^{\infty} N_y(t) \sin \lambda(t-x) dt; \\ P_z^{(i)} &= \frac{1}{\pi} \int_0^{\infty} \frac{D_3(\lambda)}{D_0(\lambda)} d\lambda \int_{-\infty}^{\infty} N_y(t) \cos \lambda(t-x) dt; \\ M_x^{(i)} &= \frac{1}{\pi} \int_0^{\infty} \frac{D_4(\lambda)}{D_0(\lambda)} d\lambda \int_{-\infty}^{\infty} N_y(t) \cos \lambda(t-x) dt, \end{aligned} \quad (5)$$

$$\begin{aligned} \text{где} \quad D_0(\lambda) &= -i\lambda(\beta^2 - \alpha^2) R_0(\lambda) \left[\lambda^4 + \frac{2h}{\beta^2 - \alpha^2} \left(\frac{1}{G_1} + \frac{\xi_0^2}{A} \right) \lambda^3 + \frac{4h\varepsilon_1\alpha}{g_2(\beta^2 - \alpha^2)} \lambda^2 + \right. \\ &+ \left. \frac{2h\beta}{g_2(\beta^2 - \alpha^2)} \lambda + \frac{4h^2}{g_2(\beta^2 - \alpha^2)} \left(\frac{1}{G_1} + \frac{\xi_0^2}{A} \right) + \frac{2h\xi_0^2\alpha}{\varepsilon_1 A(\beta^2 - \alpha^2)} \frac{R_1(\lambda)}{R_0(\lambda)} \right]; \\ D_1(\lambda) &= -i\lambda \frac{2h^*\varepsilon_1\alpha}{g_2} R_0(\lambda) \left[\lambda^2 + \frac{\beta}{\varepsilon_1\alpha} \lambda + \frac{2h}{\varepsilon_1\alpha} \left(\frac{1}{g_1} + \frac{\xi_0^2}{A} \right) - \frac{2h\xi_0^2 C}{\varepsilon_1^3 A^2 \alpha R_0(\lambda)} \left(\lambda + \frac{1}{C\delta} \right) \right]; \\ D_2(\lambda) &= -\lambda^2 \frac{2h^*\varepsilon_1\beta}{g_2} R_0(\lambda) \left[\lambda + \frac{\alpha}{\varepsilon_1\beta} - \frac{2h\xi_0^2}{\varepsilon_1^2 \beta A R_0(\lambda)} \left(\lambda + \frac{\gamma}{\varepsilon_1\delta} \right) \right]; \\ D_3(\lambda) &= i\lambda^3 \frac{4h^*\varepsilon_1^2 \xi_0 \alpha \delta}{g_2 C} \left\{ \lambda^3 + \left(\frac{\gamma}{\varepsilon_1\delta} + \frac{\beta}{\varepsilon_1\alpha} - \frac{\beta C}{\varepsilon_1 A \alpha} \right) \lambda^2 + \left[\frac{\beta\gamma}{\varepsilon_1^2 \alpha \delta} + \frac{2h}{\varepsilon_1\alpha} \left(\frac{1}{g_1} + \frac{\xi_0^2}{A} \right) - \frac{C}{\varepsilon_1^2 A} - \frac{\beta}{A\varepsilon_1\alpha\delta} \right] \lambda + \frac{2h\gamma}{\varepsilon_1^2 \alpha \delta} \left(\frac{1}{g_1} + \frac{\xi_0^2}{A} \right) - \frac{1}{\varepsilon_1^2 A \delta} \right\}; \\ D_4(\lambda) &= -i\lambda \frac{4h^*\varepsilon_1^2 \alpha \gamma}{g_2 C} \left\{ \lambda^4 + \left(\frac{\delta}{\varepsilon_1\gamma} - \frac{C\beta}{\varepsilon_1 A} + \frac{\beta}{\alpha\gamma A} + \frac{\beta}{\varepsilon_1\alpha} \right) \lambda^3 + \left[\frac{2}{\varepsilon_1\gamma A} + \frac{2h}{\varepsilon_1\alpha} \left(\frac{1}{g_1} + \frac{\xi_0^2}{A} \right) + \frac{\beta\delta}{\varepsilon_1^2 \alpha \gamma} - \frac{C}{\varepsilon_1 A} \right] \lambda^2 + \left[\frac{2h\delta}{\varepsilon_1^2 \alpha \gamma} \left(\frac{1}{g_1} + \frac{\xi_0^2}{A} \right) + \frac{\beta}{\varepsilon_1^2 \alpha \gamma A} \right] \lambda + \frac{2h}{\varepsilon_1^2 \alpha \gamma A g_1} \right\}; \\ R_0(\lambda) &= \lambda^3 + \frac{C}{\varepsilon_1^2 \delta} \left(\frac{2\varepsilon_1\gamma}{C} - \gamma^2 + \delta^2 \right) \lambda^2 + \frac{C}{\varepsilon_1^2} \left(\frac{1}{C} + \frac{1}{A} \right) \lambda + \frac{1}{\varepsilon_1^2 A \delta}; \\ R_1(\lambda) &= \lambda^5 + \left(\frac{\delta}{\varepsilon_1\delta} - \frac{\beta C}{\varepsilon_1 A} \right) \lambda^4 - \frac{2h\varepsilon_1}{g_2\alpha} \lambda^3 - \frac{2h\gamma}{g_2\alpha\delta} \lambda^2 - \frac{2hC}{\varepsilon_1 A \alpha g_2} \lambda - \frac{2h}{A\varepsilon_1 g_2 \alpha \delta}; \\ \alpha &= \frac{1-\nu}{E}; \quad \beta = \frac{2}{E}; \quad \gamma = \frac{1+\nu}{D(1-\nu)(3+\nu)}; \quad \delta = \frac{2}{D(1-\nu)(3+\nu)}. \end{aligned}$$

Формулы (5) дают закон распределения контактных усилий вдоль контура контакта пластины со стержнем. Если на стержень действует сосредоточенная сжимающая сила N_0 , то в формулах (5) следует положить

$$N_y(t) = -N_0\delta(t) \quad (6)$$

и учесть, что

$$\int_{-\infty}^{\infty} \delta(t) \cos \lambda(t-x) dt = \cos \lambda x; \quad \int_{-\infty}^{\infty} \delta(t) \sin \lambda(t-x) dt = -\sin \lambda x, \quad (7)$$

где $\delta(t)$ — функция Дирака.

Для примера рассмотрим стержень прямоугольного сечения со следующими упругими, жесткостными и геометрическими характеристиками:

$$\frac{2h^*}{2h} = 2,5; \quad \frac{E^*}{E} = 2,0; \quad C = \frac{E^* \rho_0 b^3 h^*}{1 + \nu^*};$$

$$b = 2h; \quad \rho_0 = 0,249; \quad \nu = \nu^* = 0,3; \quad g_1 = 3E^* b h^*.$$

$$g_2 = \frac{1}{6} E^* b^3 h^*; \quad A = \frac{2}{3} E^* h^* b; \quad \epsilon_1 = \epsilon_2 = h.$$
(8)

Зависимость контактных напряжений, возникающих на контуре контакта, представлена на рис. 2. Кривая 1 показывает зависимость контактных напряжений от эксцентриситета прикрепления ξ_0 при действии сосредоточенной силы N_0 на одном краю пластины ($z = -h$, кривая 2 — на другом ($z = h$)).

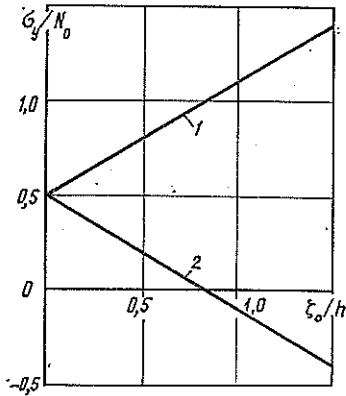


Рис. 2. Зависимость контактных напряжений от эксцентриситета подкрепления.

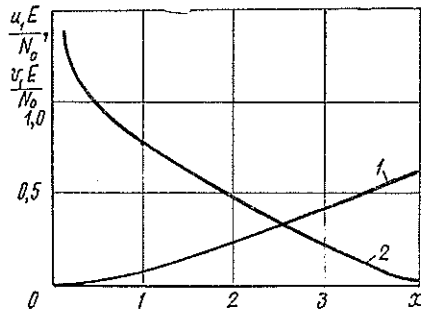


Рис. 3. Зависимость изменений перемещений подкрепляющего ребра от длины стола x .

1 — вертикальные смещения стола; 2 — горизонтальные смещения, стола.

На рис. 3 показана зависимость перемещений подкрепляющего элемента (стержня) под воздействием внешней нагрузки N_0 вдоль оси x , на рис. 4 — зависимость прогиба пластины от эксцентриситета подкрепления ξ_0 .

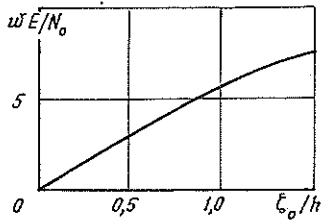


Рис. 4. Зависимость величины прогиба пластины от эксцентриситета подкрепления.

Контактные напряжения и компоненты перемещений пластины и стержня вычисляли на ЭВМ «Минск-22».

ЛИТЕРАТУРА

- [1]. Мартынович Т. Л., Юринец В. Е. Неоднородная изотропная полуплоскость с несимметрично подкрепленным краем.— Прикл. механика, 1977, вып. 13, № 3, с. 48—56. [2]. Шереметьев М. П. Пластины с подкрепленным краем.— Львов: Изд-во Львов. ун-та, 1960.— 216 с.